

# 高等数值算法与应用(6)

- 常微分方程 (chap7) -

喻文健

# Outline

- ▶ ODE初值问题
- ▶ 单步法（Runger-Kutta法）
- ▶ BS23算法及实例
- ▶ 洛伦兹吸引子
- ▶ 刚性问题
- ▶ 事件



# ODE初值问题

- » ODE初值问题与解法 (电路仿真)
- 一阶常微分方程组 (二体问题)
- ODE初值问题的稳定性分析



# 常微分方程(ODE)初值问题

## ▶ Initial Value Problem (IVP)

- 常微分方程需求解随时间变化的物理量, 即未知函数 $y(t)$
- 已知条件包括: 微分方程(物理规律)与初始条件

$$\begin{cases} \frac{dy(t)}{dt} = f(t, y(t)) \\ y(t_0) = y_0 \end{cases} \quad \longrightarrow \quad \dot{\mathbf{y}} = \mathbf{f}(t, \mathbf{y})$$

## ▶ 数值求解

- 生成一系列自变量点  $t_0 < t_1 < \dots < t_n < t_{n+1} < \dots$ , 及对应近似函数值  $y_0, y_1, \dots, y_n, y_{n+1}, \dots$ , 即  $y_n \approx y(t_n)$  “步进式”
- 步长  $h_n = t_{n+1} - t_n$ , 固定步长, 或自动变步长(误差控制)

◦ 基本依据 
$$y(t+h) = y(t) + \int_t^{t+h} f(s, y(s)) ds$$

# 常微分方程 - 例子1

## 含电容元件的电路仿真

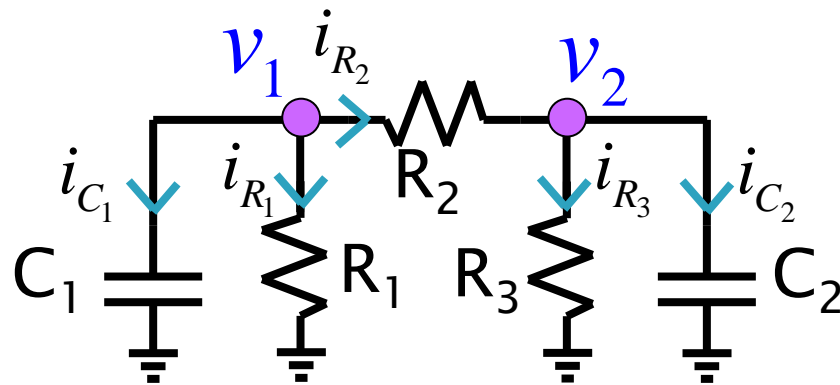
电流/电压关系    节点电流方程

$$i_c = C \frac{dv_c}{dt}$$

$$i_{C_1} + i_{R_1} + i_{R_2} = 0$$

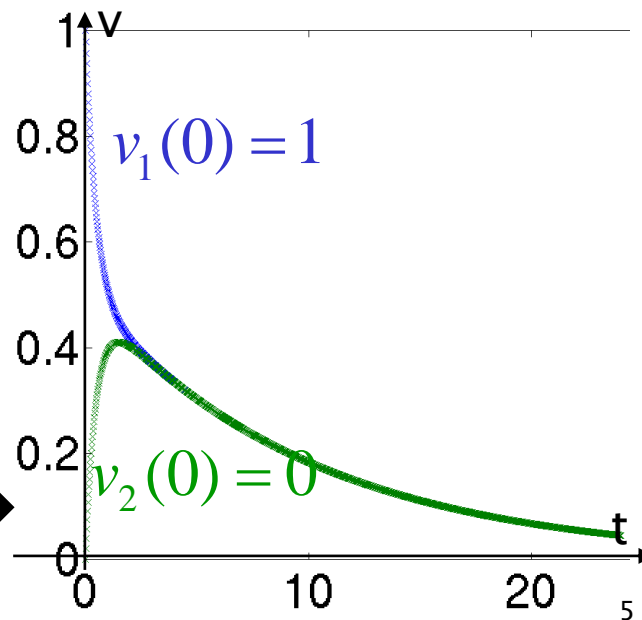
$$i_R = \frac{1}{R} v_R$$

$$i_{C_2} + i_{R_3} - i_{R_2} = 0$$



## 通过节点分析法得到微分方程组

$$\begin{bmatrix} C_1 & 0 \\ 0 & C_2 \end{bmatrix} \begin{bmatrix} \frac{dv_1}{dt} \\ \frac{dv_2}{dt} \end{bmatrix} = - \begin{bmatrix} \frac{1}{R_1} + \frac{1}{R_2} & -\frac{1}{R_2} \\ -\frac{1}{R_2} & \frac{1}{R_3} + \frac{1}{R_2} \end{bmatrix} \begin{bmatrix} v_1 \\ v_2 \end{bmatrix}$$



问题的解反映了电容充/放电过程



# 常微分方程组

## ▶ 一阶常微分方程组

◦ 问题中含多个待求的时变函数(物理量)

↗ LC电路



◦ 方程含二阶或更高阶导数

(谐波振荡器)  $\ddot{x}(t) = -x(t)$

◦ 通过增加未知函数, 转为一阶方程组

设  $y(t) = \begin{bmatrix} x(t) \\ \dot{x}(t) \end{bmatrix}$

$$\dot{y} = f(t, y)$$

◦  $f$ 是个列向量函数

◦ Matlab中, 通过 $f$ 函数描述常微分方程

→  $\dot{y}(t) = \begin{bmatrix} y_2(t) \\ -y_1(t) \end{bmatrix}$

注意 $f$ 是 $\mathbb{R}^{n+1} \rightarrow \mathbb{R}^n$ 函数, 且 $t$ 必须是第一个参数

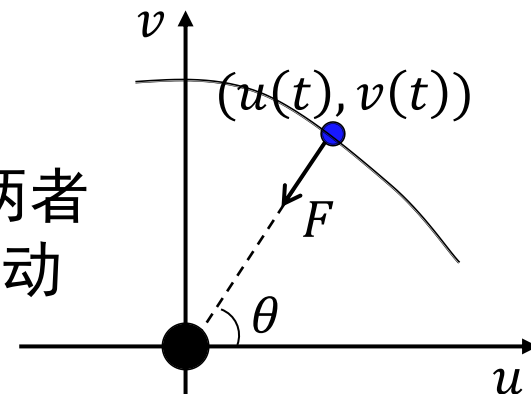
```
function ydot = harmonic(t,y)
ydot = [y(2); -y(1)];
```

```
>> harmonic = @(t,y) [0 1; -1 0]*y;
```

# 常微分方程组



- ▶ 一阶常微分方程组 - 例子(二体问题)
  - 两个质量分别为 $m, M$ 的物体,  $M \gg m$ ; 两者相互吸引, 一个围绕另一个做平面轨道运动
  - 以质量大的物体位置为坐标原点
  - 质量小物体的位置 $(u(t), v(t))$ , 满足方程  
(根据力与运动的分解、牛顿定律)
  - 转成一阶方程组



$$m\ddot{u} = F_u = -k \frac{Mm}{r^2} \cos\theta = -k \frac{Mm}{r^2} \cdot \frac{u}{r}$$

→  $\ddot{u}(t) = -u(t)/r(t)^3$  (适当设置单位)

同理,  $\ddot{v}(t) = -v(t)/r(t)^3, r(t) = \sqrt{u(t)^2 + v(t)^2}$

$$y(t) = \begin{bmatrix} u(t) \\ v(t) \\ \dot{u}(t) \\ \dot{v}(t) \end{bmatrix} \quad \dot{y}(t) = \begin{bmatrix} \dot{u}(t) \\ \dot{v}(t) \\ -u(t)/r(t)^3 \\ -v(t)/r(t)^3 \end{bmatrix}$$

```
function ydot = twobody(t,y)
r = sqrt(y(1)^2+ y(2)^2);
ydot = [y(3:4); -y(1:2)/r^3];
```

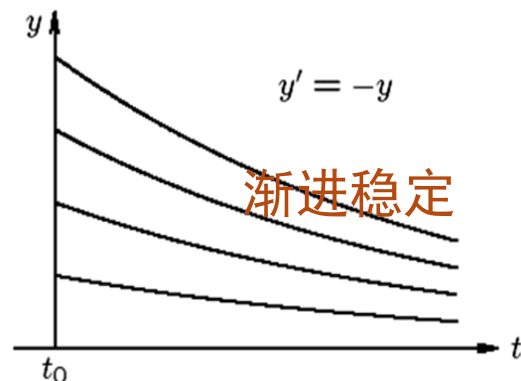
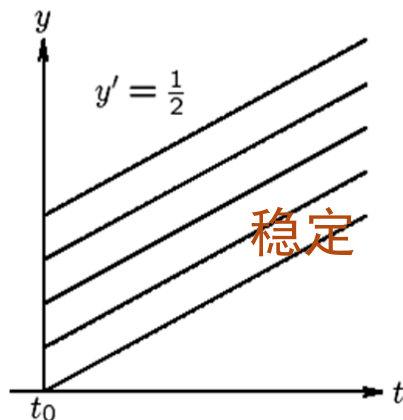
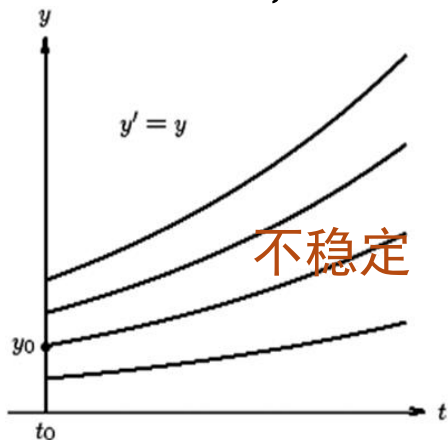
# 方程分类及稳定性

- ▶ 方程的分类  $\dot{y} = f(t, y)$  否则, 非线性常微分方程
  - 线性常微分方程:  $f(t, y) = a(t)y + b(t)$ ,  $f$  是  $y$  的线性函数
  - 线性齐次常微分方程, 线性齐次常系数微分方程, 如  $\dot{y} = \lambda y$
- ▶ ODE 初值问题的敏感性 
$$\begin{cases} \dot{y} = f(t, y), \\ y(t_0) = y_0 \end{cases}$$
  - 考虑初值发生扰动对结果的影响
  - 结果(解)是函数  $y(t)$ , 特别关心  $t \rightarrow \infty$  时  $y(t)$  的受影响情况
  - 定义: ODE 初值问题的稳定性
  - 若  $t \rightarrow \infty$  时  $y(t)$  的偏差被控制在有界范围内, 稳定(stable)
  - 若  $t \rightarrow \infty$  时  $y(t)$  的偏差发散为无穷大, 不稳定(unstable)
  - 若  $t \rightarrow \infty$  时  $y(t)$  的偏差趋于零, 渐进稳定(asymptotically stable)

实际的问题应保证其稳定性!

# 稳定性分析

- ▶ 例：“模型问题”的稳定性  $\begin{cases} \dot{y} = \lambda y, \\ y(t_0) = y_0 \end{cases}$
- 准确解为： $y(t) = y_0 e^{\lambda(t-t_0)}$
  - 扰动后初值  $y_0 + \Delta y_0$ , 解为  $\hat{y}(t) = (y_0 + \Delta y_0) e^{\lambda(t-t_0)}$
  - $\Delta y(t) = \hat{y}(t) - y(t) = \Delta y_0 e^{\lambda(t-t_0)}$  稳定性取决于  $\lambda$  的值
  - 若  $\lambda \leq 0$ , 原问题稳定; 若  $\lambda > 0$ , 原问题不稳定



- 若  $\lambda$  为复数, 稳定性取决于  $\text{Re}(\lambda)$

# 稳定性分析

- ▶ 一般的非线性常微分方程  $\dot{y} = f(t, y) \approx \dot{y} = Jy + b(t)$ 
  - 通过任一点  $(t_c, y_c)$  的泰勒展开可讨论局部稳定性  

$$f(t, y) = f(t_c, y_c) + \alpha(t - t_c) + J(y - y_c) + \dots$$
  - 其中  $\alpha = \frac{\partial f}{\partial t}(t_c, y_c)$ ,  $J = \frac{\partial f}{\partial y}(t_c, y_c) \longrightarrow$  决定局部稳定性
  - 对ODE方程组,  $J$  为雅可比矩阵. 原方程局部近似为线性微分方程组  $\dot{y} = Jy + b(t)$
  - 考察方程  $\dot{y} = Jy$
  - 设  $J$  可对角化,  $J = V\Lambda V^{-1}$   $J = \begin{bmatrix} \frac{\partial f_1}{\partial y_1} & \frac{\partial f_1}{\partial y_2} & \dots & \frac{\partial f_1}{\partial y_n} \\ \frac{\partial f_2}{\partial y_1} & \frac{\partial f_2}{\partial y_2} & \dots & \frac{\partial f_2}{\partial y_n} \\ \vdots & \vdots & \ddots & \vdots \\ \frac{\partial f_n}{\partial y_1} & \frac{\partial f_n}{\partial y_2} & \dots & \frac{\partial f_n}{\partial y_n} \end{bmatrix}$
  - 做变量代换  $Vx = y$
  - $\longrightarrow \dot{x} = \Lambda x$ , 即解一组独立方程  $\dot{x}_k = \lambda_k x_k$  若有一个的实部  $> 0$ ,
  - 解  $y(t)$  的局部稳定性由特征值  $\lambda_1, \dots, \lambda_n$  决定 则局部不稳定!

整体稳定性往往很难分析

# 单步法(Runger-Kutta法)

- » 欧拉法、中点法、改进的欧拉法  
局部截断误差与准确度阶数  
Runger-Kutta法  
Matlab解法与举例



# 欧拉法

## ▶ 固定步长的欧拉法

$$y_{n+1} = y_n + hf(t_n, y_n)$$

$$t_{n+1} = t_n + h$$

### ◦ Matlab算法

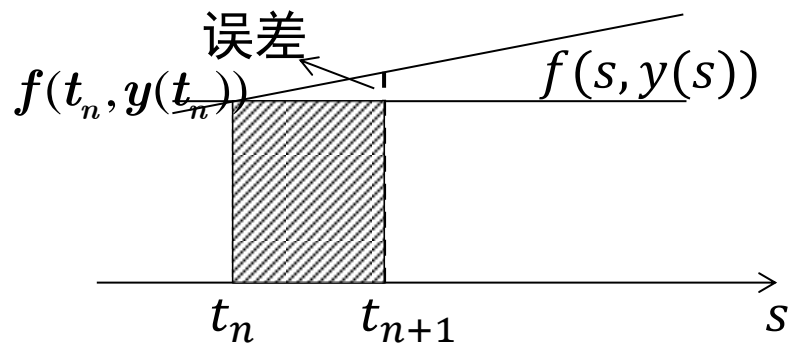
```
t = t0; y = y0;  
while t <= tfinal  
    y = y + h*f(t, y)  
    t = t + h  
end
```

- 求解方程组时,  $y_0$ 为向量, 且 $f$ 也返回向量
  - 从推导看出, 当 $\dot{y} = f(t, y(t))$ 为常数时, 该方法精确
  - 若 $f$ 是 $t$ 的线性函数, 上述近似积分的误差随 $h$ 增大而增大
- 另一个问题:** 没有提供误差估计方法, 无法自动确定步长

$$y(t+h) = y(t) + \int_t^{t+h} f(s, y(s)) ds$$

$$y_{n+1} = y(t_n) + \int_{t_n}^{t_n+h} f(s, y(s)) ds$$

$$\approx y(t_n) + hf(t_n, y(t_n)) \quad \text{左矩形求积公式}$$



# 欧拉法的改进

$$y_{n+1} = y_n + \int_t^{t+h} f(s, y(s)) ds$$

## 在欧拉法基础上改进

- 再增加一次函数求值: 数值积分的**中点公式**或**梯形公式**
- 可利用欧拉法估算中点处被积函数值(走半个步长)

两阶段的方法

$$s_1 = f(t_n, y_n)$$

$$s_2 = f\left(t_n + \frac{h}{2}, y_n + \frac{h}{2}s_1\right) \quad (\text{中点法})$$

$$y_{n+1} = y_n + hs_2$$

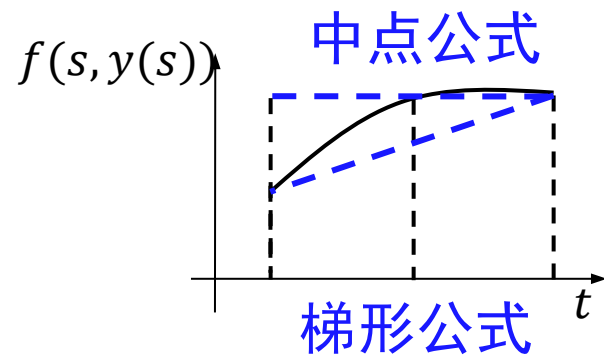
- 用欧拉法估算一步终点处被积函数值

$$s_1 = f(t_n, y_n)$$

$$s_2 = f(t_n + h, y_n + hs_1) \quad (\text{Heun方法/改进的欧拉法})$$

$$y_{n+1} = y_n + h \frac{s_1 + s_2}{2}$$

- 它们都比欧拉法更准确



# 局部截断误差

用两个概念来描述截断误差

- *Global* error, which is difference between computed solution and true solution determined by initial data at  $t_0$ :

$$e_k = y_k - y(t_k)$$

整体误差

- *Local* error, which is error made in **one step** of numerical method:

$$l_k = y_k - u_{k-1}(t_k),$$

where  $u_{k-1}$  is solution through  $(t_{k-1}, y_{k-1})$

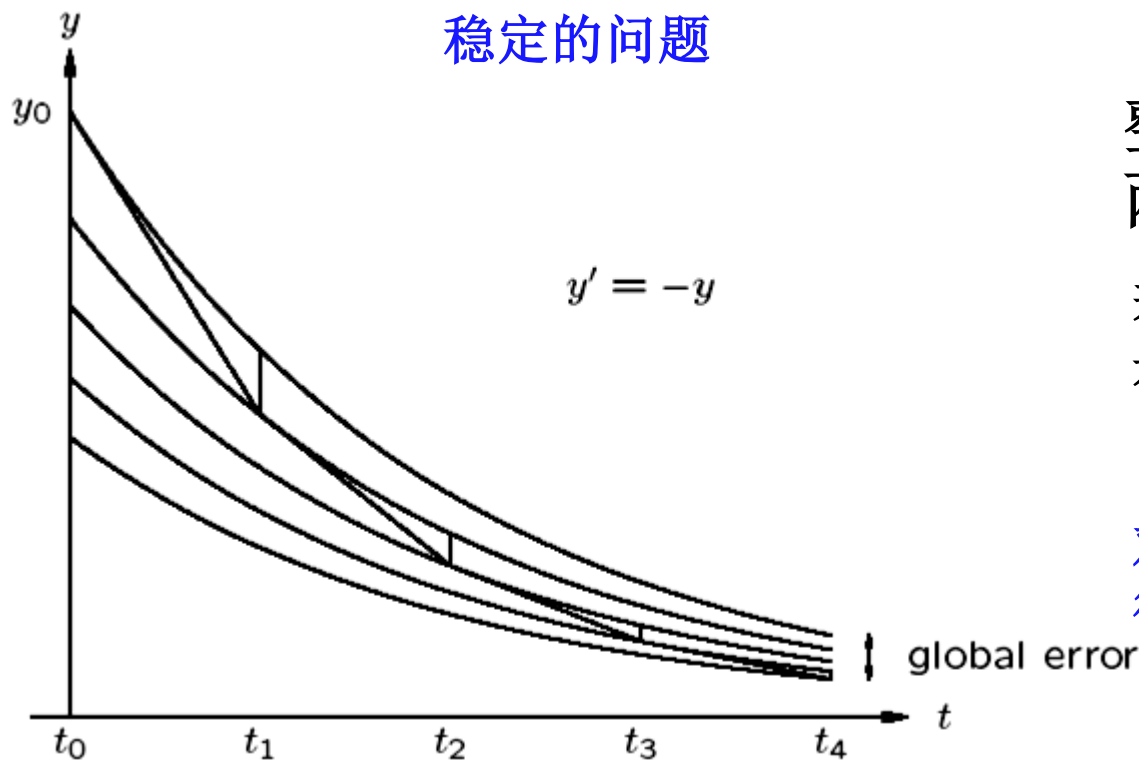
局部截断误差：当前这一步的误差

在前一步得准确解前提下，考虑当前解的误差

Global error is not necessarily sum of local errors

# 局部截断误差

稳定的问题



整体、局部截断误差  
两者关系:

若  $l_k = \mathcal{O}(h_k^{p+1})$ , 一般也有  $e_k = \mathcal{O}(h^p)$ ,

$h$ 为平均步长

对不稳定的问题, 整体误差  
往往大于所有局部误差之和!

Accuracy of numerical method is of order  $p$  if (一般仅能控制局部误差)

$$l_k = \mathcal{O}(h_k^{p+1}) \leq C \cdot h_k^{p+1}, \text{ 当 } h_k \text{ 足够小}$$

Local error per unit step,  $l_k/h_k = \mathcal{O}(h_k^p)$

称此方法有  $p$  阶准确度

# 局部截断误差

## ▶ 如何分析?

- 欧拉法  $y_k = y_{k-1} + hf(t_{k-1}, y_{k-1})$   
 $l_k = y_k - u_{k-1}(t_k) = y(t_{k-1}) + h\dot{y}(t_{k-1}) - u_{k-1}(t_k)$   $\nearrow y(t_{k-1})e^{\lambda h}$
- 考虑模型问题  $\dot{y} = \lambda y$   $= y(t_{k-1})[1 + h\lambda - e^{h\lambda}] = O(h^2)$
- 为1阶准确度, 此结论也适用于一般的  $\dot{y} = f(t, y)$
- 改进的欧拉法  $y_k = y_{k-1} + \frac{h}{2}[f(t_{k-1}, y_{k-1}) + f(t_k, y_{k-1} + hf(t_{k-1}, y_{k-1}))]$   
 $l_k = y(t_{k-1}) + \frac{h}{2}[\dot{y}(t_{k-1}) + f(t_k, y(t_{k-1}) + h\dot{y}(t_{k-1}))] - u_{k-1}(t_k)$
- 考虑模型问题  $\dot{y} = \lambda y$   $= y(t_{k-1}) \left[ 1 + \frac{h}{2}(\lambda + \lambda + \lambda \cdot h\lambda) - e^{h\lambda} \right] = O(h^3)$
- 具有2阶准确度

# Runge-Kutta法

## ▶ 单步法(Runge-Kutta法)

- **思想**: 对 $t_n, t_{n+1}$ 之间几个不同的 $t$ 值估算 $f$ 函数的值, 再用它们的线性组合近似计算积分
- 若用两个**准确度不同**公式算 $y_{n+1}$ , 则可估计误差、自动确定步长
- 经典(四阶)Runge-Kutta法 (1905)

$$s_1 = f(t_n, y_n)$$

$$s_2 = f\left(t_n + \frac{h}{2}, y_n + \frac{h}{2}s_1\right)$$

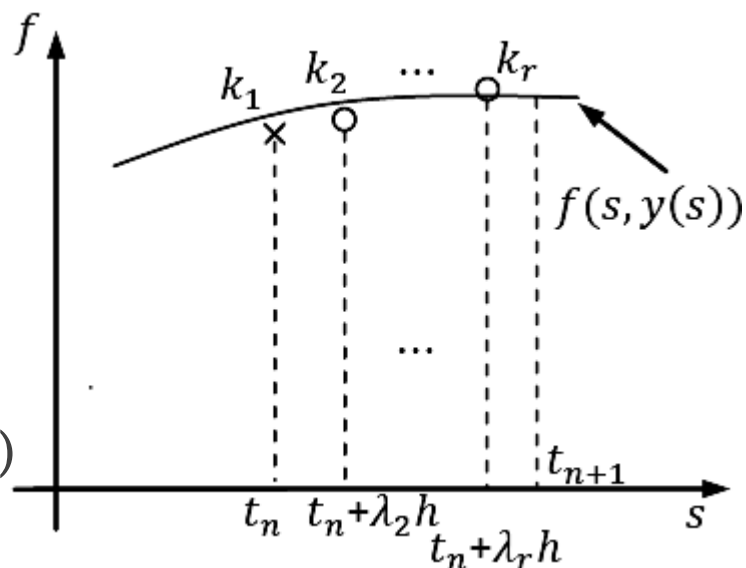
$$s_3 = f\left(t_n + \frac{h}{2}, y_n + \frac{h}{2}s_2\right)$$

$$s_4 = f(t_n + h, y_n + hs_3)$$

$$y_{n+1} = y_n + \frac{h}{6}(s_1 + 2s_2 + 2s_3 + s_4)$$

本身不提供误差估计;  
有时使用步长 $h, h/2$ 分别计算  
得到误差估计

$$y_{n+1} = y_n + \int_t^{t+h} f(s, y(s)) ds$$



# Runge-Kutta法

## 更普遍的Runge-Kutta法

$$y_{n+1} = y_n + \int_{t_n}^{t_n+h} f(s, y(s)) ds$$

- 在 $[t_n, t_n+h]$ 上取 $k$ 个不同的 $t$ 值 ( $k$ 个阶段), 估算每个对应的 $f$ 函数值 (引入参数 $\alpha_i, \beta_{i,j}$ )

时间值	$y$ 函数近似值	$f$ 函数近似值
$t_n$	$y_n$	$f(t_n, y_n) \equiv s_1$
$t_n + \alpha_2 h$	$y_n + \alpha_2 h s_1$	$f(t_n + \alpha_2 h, y_n + \alpha_2 h s_1) \equiv s_2$
$t_n + \alpha_3 h$	$y_n + h \sum_{j=1}^2 \beta_{3,j} s_j$	$f\left(t_n + \alpha_3 h, y_n + h \sum_{j=1}^2 \beta_{3,j} s_j\right) \equiv s_3$
...	...	...

- 计算一步的公式(求积公式)  $y_{n+1} = y_n + h \sum_{i=1}^k \gamma_i s_i$   
 若算另一个公式, 两者差(斜率组合)算误差  $e_{n+1} = h \sum_{i=1}^k \delta_i s_i$

# Runge-Kutta法

$$y_{n+1} = y_n + h \sum_{i=1}^k \gamma_i s_i$$

- ▶ 如何求Runge-Kutta法的参数  $s_i = f(t_n + \alpha_i h, y_n + h \sum_{j=1}^{i-1} \beta_{i,j} s_j)$ 
  - 四组参数 $\alpha_i, \beta_{i,j}, \gamma_i, \delta_i$ 的具体值根据准确度阶数的要求定
  - **k阶段公式**: 计算k次f(t,y)函数
  - 若k=1~4, 则k阶段公式可达到k阶准确度, 但要达到5阶准确度, 则至少需要6阶段公式 (计算量大)
- ▶ Matlab中的ODE求解器
  - 很多是变步长的单步法 (使用两种单步法公式)
  - 名字: ode**nnxx**, nn为两个数字, 代表两个公式的**阶数**; xx表示方法的某种属性, 可能没有
  - [T,Y,**TE,YE,IE**] = ode23(odefun,tspan,y0,**options**)

# 实例与Matlab demo

- ▶ 单个ODE: 分析稳定性, Matlab求解

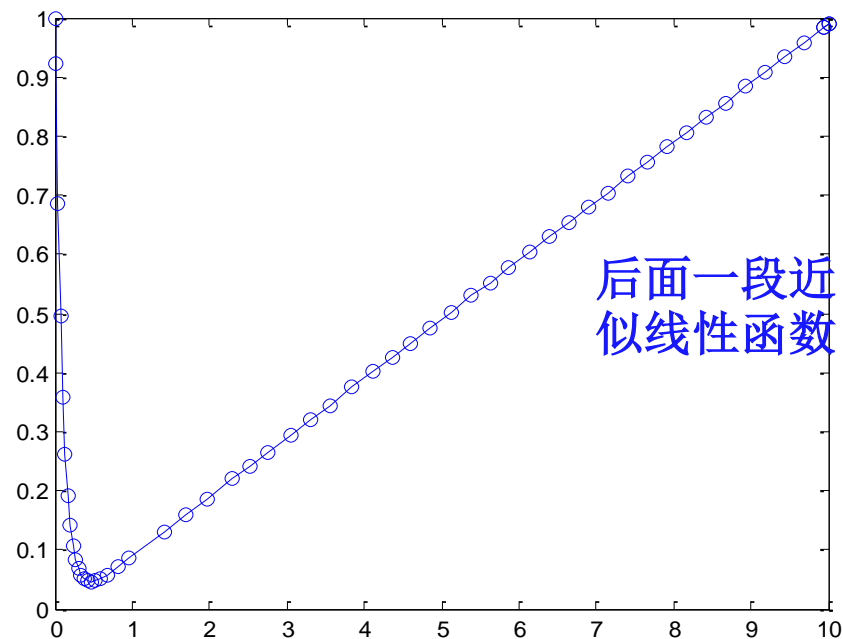
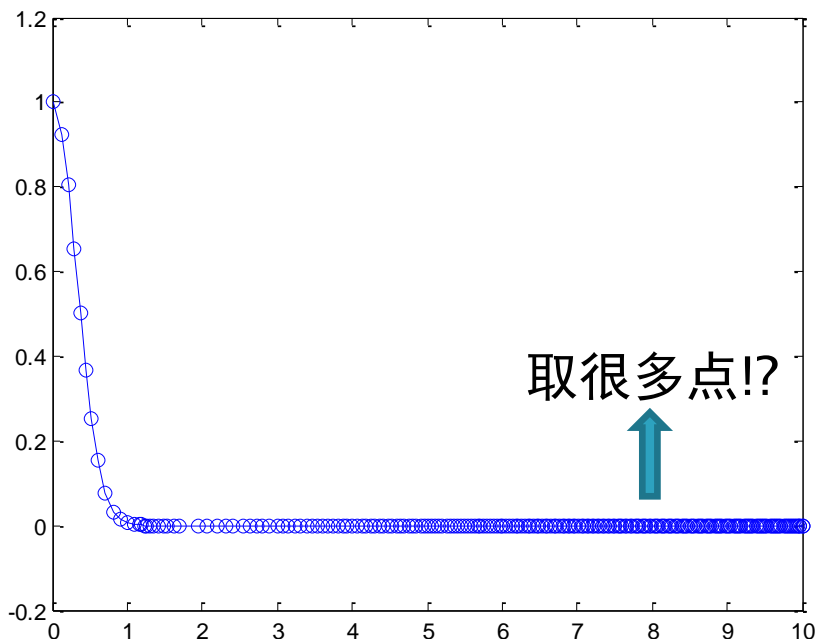
$$\begin{cases} y' = -10yt \\ y(0) = 1 \end{cases} \quad J_f = -10t$$

$$\begin{cases} y' = -10y + t \\ y(0) = 1 \end{cases} \quad J_f = -10$$

True solution:  $y(t) = e^{-5t^2}$

`f=@(t, y) -10*y*t; ode23(f, [0,10], 1);`

Matlab: `ode_1`



# 实例与Matlab demo

- ▶ 常微分方程组: 牛顿第二定律

稳定吗?

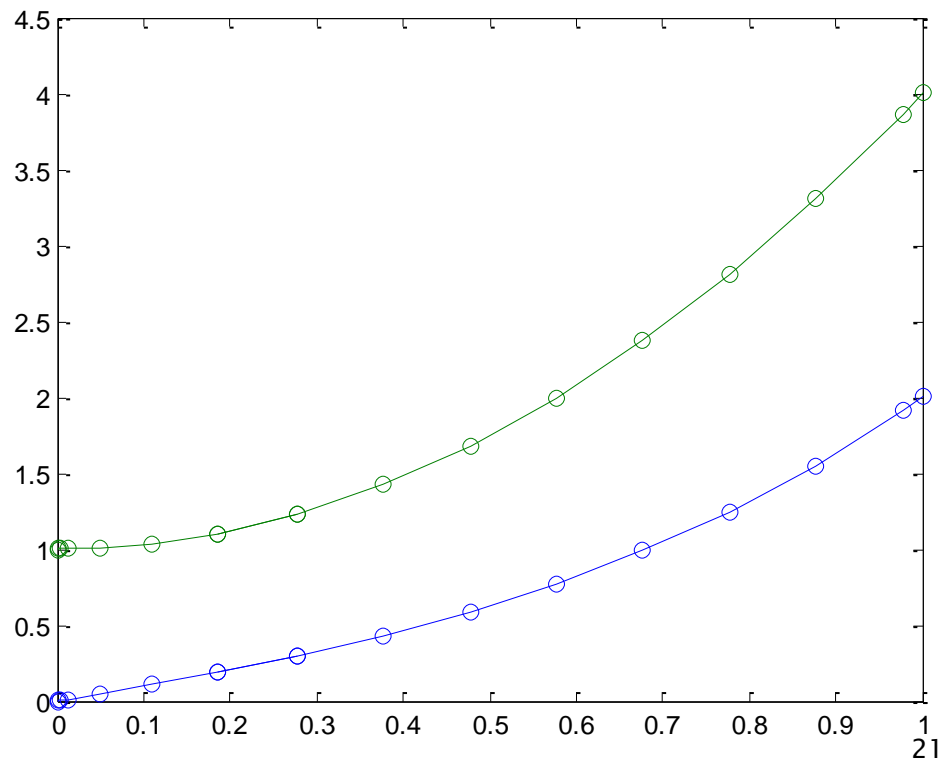
```
ode23(@myode2, [0, 1], [0; 1]);
```

```
function ydot = myode2(t,y);  
ydot = [y(2); 6*t]; %列向量
```

Matlab: ode\_2

$$\begin{cases} y_1' = y_2 \\ y_2' = 6t \\ y_1(0) = 0 \\ y_2(0) = 1 \end{cases}$$

有解析解



# BS23算法及实例

- 自动Runge-Kutta法：BS23算法  
ode23tx程序与演示

# 自动的Runge-Kutta方法

## 基本思想

- 两个公式算出的  $\hat{y}_{k+1}$  和  $y_{k+1}$  分别为  $p$ ,  $p+1$  阶准确度

$$\hat{y}_{k+1} - u_k(t_k + h) = O(h^{p+1}) = c_{p+1}h^{p+1} + O(h^{p+2}) \longrightarrow \hat{y}_{k+1} - y_{k+1} \approx c_{p+1}h^{p+1}$$

- 取准确度更高的值  $y_{k+1}$  作这一步的结果 err= 可调整  $h$  控制  $err$ , 即控制局部误差

## BS23算法

- Bogachi & Shampine在[AML'1989]中提出, 2-3阶R-K方法

### 3阶Ralston公式:

$$y_{k+1} = y_k + \frac{h}{9}(2s_1 + 3s_2 + 4s_3)$$

$$s_1 = f(t_k, y_k)$$

$$s_2 = f(t_k + h/2, y_k + (h/2)s_1)$$

$$s_3 = f(t_k + 3h/4, y_k + (3h/4)s_2)$$

### 2阶公式:

$$s_4 = f(t_{k+1}, y_{k+1})$$

$$\hat{y}_{k+1} = y_k + \frac{h}{24}(7s_1 + 6s_2 + 8s_3 + 3s_4)$$

未引入新计算量, 且2阶公式的**稳定域**包含了3阶公式的稳定域[AML'1989]

### 误差估计式:

$$y_{k+1} - \hat{y}_{k+1} = \frac{h}{72}(-5s_1 + 6s_2 + 8s_3 - 9s_4)$$

# BS23算法及ode23tx

## ▶ BS23算法

应该与y值有关:  
相对阈值rtol

输入:  $f(t, y)$ ,  $t_0$ ,  $y_0$ , 终点b, 误差阈值tol; 输出:  $y_n$  ( $n = 1, 2, \dots$ ).

$s_1 := f(t_0, y_0)$ ;  $h$ : = 初始步长;  $n$ : = 0;

**While**  $t_n \leq b$ , **do**

$s_2 := f(t_n + h/2, y_n + s_1 \cdot h/2)$ ;

$s_3 := f(t_n + 3h/4, y_n + s_2 \cdot 3h/4)$ ;

$t_{n+1} := t_n + h$ ;

$y_{n+1} := y_n + (2s_1 + 3s_2 + 4s_3) \cdot h/9$ ;

$s_4 := f(t_{n+1}, y_{n+1})$ ;

$err := |(-5s_1 + 6s_2 + 8s_3 - 9s_4) \cdot h/72|$ ;

**If**  $err \leq tol$  **then**

$s_1 := s_4$ ;

$n := n + 1$ ;

**End**

$h := \alpha \cdot \sqrt[3]{tol/err} \cdot h$ ; {  $\alpha$ 为小于1的某个值, 如0.8 }

- 每步计算3次f()函数
- 若 $e_{n+1}$ 小于阈值, 则进入下一步( $s_4$ 可以复用), 否则减小步长重算当前步

$$\frac{err'}{err} \approx \frac{h'}{h^3}$$

误差  $err \approx c \cdot h^3$   
改变步长  $err' \approx c \cdot h'^3$

要使 $err' < tol$

$$h' < \sqrt[3]{tol/err} \cdot h$$

**End**

# BS23算法及ode23tx

## ▶ ode23tx程序 Matlab中ode23的简化版本

相对误差阈值  
或option结构

◦ `[tout,yout] = ode23tx(F, tspan, y0, arg4, varargin)`

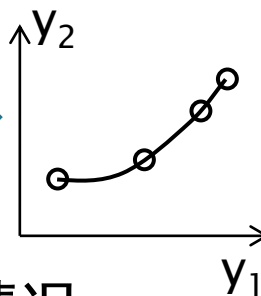
◦ 程序细节: 初始步长, 绝对阈值/相对阈值, 步长变化

◦ 相关命令: `opt=odeset(outputfcn: odeplot, odephas2)`

回忆  
optimset

## ▶ 通过实例了解ode23tx

相位图



```
>> F = @(t,y) 0; ode23tx(F, [0, 10], 1)
```

◦ 增加输出每个计算步的t, tnew, 看多次预测步长的情况

◦ 修改F函数、改变精度阈值

```
>> F = @(t,y) [y(2); -y(1)];
```

◦ 谐波振荡器:

```
>> ode23tx(F, [0, 2*pi], [1; 0])
```

◦ 平面向位图  
(红色标记?)

```
>> opt=odeset('outputfcn', @odephas2);  
>> ode23tx(F, [0, 2*pi], [1; 0], opt);
```

三体问题



改变初始条件、看相位图

# 洛伦兹吸引子

- » 问题背景
- 混沌与吸引子
- 程序演示
- 双联摆

# 问题背景

## ▶ Lorenz吸引子

- 1963年，MIT的Edward Lorenz研究地球大气的流体模型时发现的现象

- $n=3$ 的常微分方程组  $\dot{y} = Ay$  ,  $A = \begin{bmatrix} -\beta & 0 & y_2 \\ 0 & -\sigma & \sigma \\ -y_2 & \rho & -1 \end{bmatrix}$

- $y_1(t)$ 与大气对流有关,  $y_2(t)$ 和 $y_3(t)$ 与水平和垂直的温度变化有关

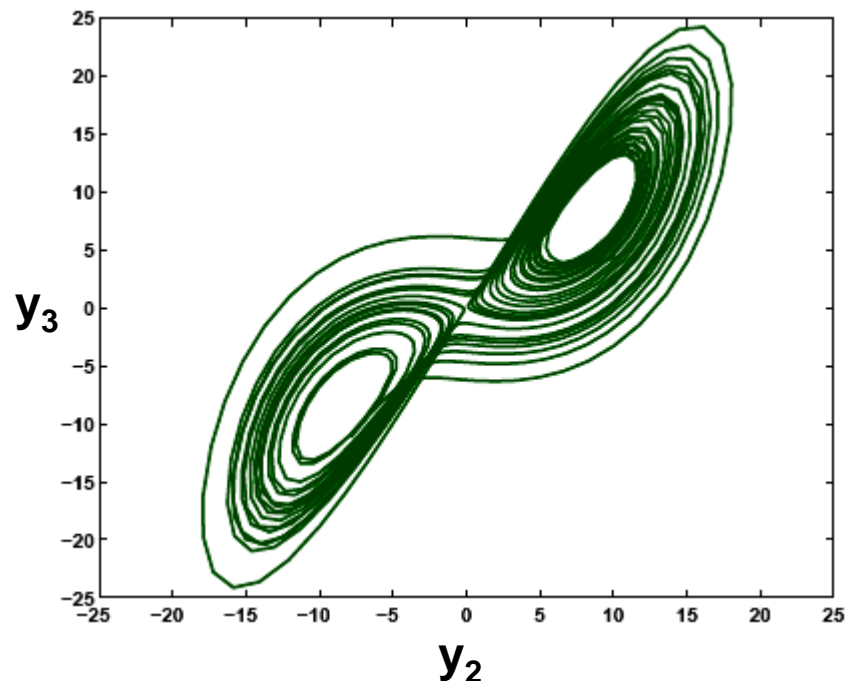
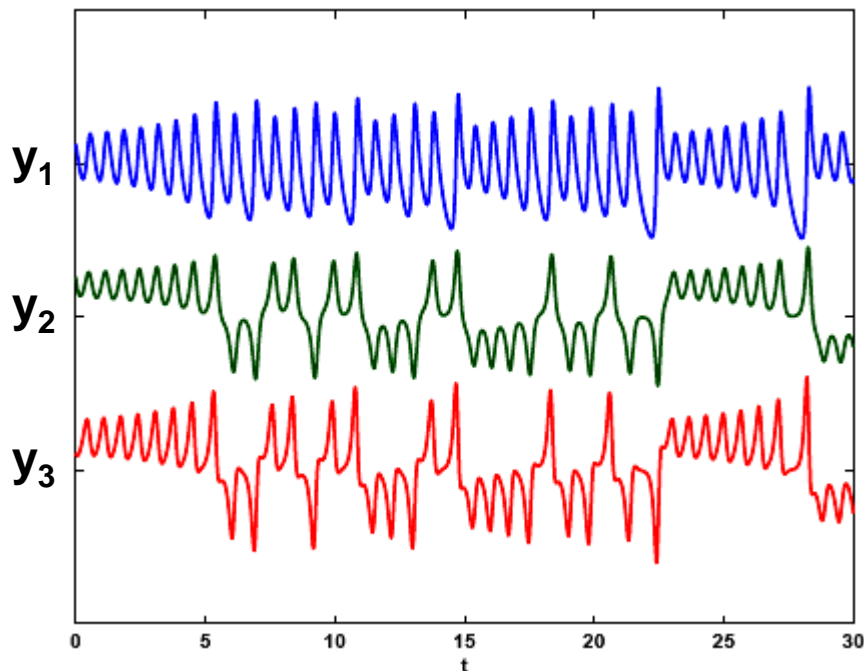
- $\sigma$ : Prandtl数,  $\beta$ : 与区域的几何有关,  $\rho$ : 规范化的Rayleigh数

- 看似简单的非线性使系统表现非常复杂, 虽然参数是确定的, 但会产生“混沌”现象

- 三维空间中 $y(t)$ 的轨迹混乱地在两个点（吸引子）之间往返, 有界但无周期, 不收敛也不自交

# 解的现象

## ▶ Lorenz吸引子



- 怎么解释？怎么用Matlab求解？
- 矩阵 $A$ 有可能奇异，若有某个非零的 $\mathbf{y}(0)$ 使 $\dot{\mathbf{y}} = A\mathbf{y} = \mathbf{0}$ ，则 $\mathbf{y}(0)$ 为ODE的不动点  
实验表明这些不动点不稳定，接近它们时会被排斥

# 理论分析

## ▶ Lorenz吸引子

$$A = \begin{bmatrix} -\beta & 0 & y_2 \\ 0 & -\sigma & \sigma \\ -y_2 & \rho & -1 \end{bmatrix} \longrightarrow y_2 = \pm\sqrt{\beta(\rho-1)} \text{ 时奇异}$$

◦ 这是初值 $\mathbf{y}(0)$ 的第2个分量, 而 $\mathbf{y}(0)$ 满足 $A\mathbf{y}(0) = \mathbf{0}$

◦ 易知: 
$$\begin{bmatrix} -\beta & 0 & y_2 \\ 0 & -\sigma & \sigma \\ -y_2 & \rho & -1 \end{bmatrix} \begin{bmatrix} \rho-1 \\ y_2 \\ y_2 \end{bmatrix} = \begin{bmatrix} 0 \\ 0 \\ 0 \end{bmatrix}$$

◦ 两个吸引子:  $[\rho-1, \sqrt{\beta(\rho-1)}, \sqrt{\beta(\rho-1)}]^T, [\rho-1, -\sqrt{\beta(\rho-1)}, -\sqrt{\beta(\rho-1)}]^T$

◦ 若参数 $\sigma=10, \beta=8/3, \rho=28$ , 吸引子为 $(27, \pm 8.5, \pm 8.5)$

◦ 当ODE的初值不在吸引子位置时, 看到混沌现象

# 程序与演示

演示程序: **lorenzgui**

**mylorenz.m**

## ▶ Lorenz吸引子

```
rho = 28;  
sigma = 10;  
beta = 8/3;  
eta = sqrt(beta*(rho-1));  
A = [ -beta    0    eta  
      0  -sigma  sigma  
      -eta  rho   -1  ];
```

%  $\sqrt{\beta(\rho-1)}$   
% 形成矩阵A

相位显示: `opts = odeset('outputfcn', @odephas2, 'outputSel', [1, 2]);`

```
yc = [rho-1; eta; eta];  
y0 = yc + [0; 0; 3];
```

% 吸引子位置  
% 初始值

```
tspan = [0 Inf];  
opts = odeset('reltol', 1.e-6, 'outputfcn', @lorenzplot);  
ode45(@lorenzeqn, tspan, y0, opts, A); % A为额外参数
```

设置输出处理函数

```
-----  
function ydot = lorenzeqn(t,y,A)  
A(1,3) = y(2);  
A(3,1) = -y(2);  
ydot = A*y;
```

# 另一个形成混沌的例子 - 双联摆

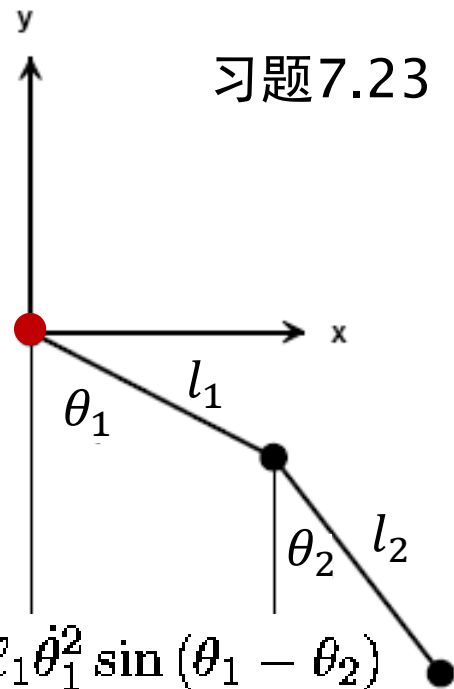
- ▶ 双联摆的运动
- ▶ 两个摆锤(重物), 刚性杆的重量可忽略
- ▶ 不考虑摩擦力, 运动不会停止, 且在初始角度较大时摆锤的轨迹呈现混沌现象

$$\begin{cases} (m_1 + m_2)l_1\ddot{\theta}_1 + m_2l_2\ddot{\theta}_2 \cos(\theta_1 - \theta_2) = \\ \quad -g(m_1 + m_2)\sin\theta_1 - m_2l_2\dot{\theta}_2^2 \sin(\theta_1 - \theta_2), \\ m_2l_1\ddot{\theta}_1 \cos(\theta_1 - \theta_2) + m_2l_2\ddot{\theta}_2 = -gm_2\sin\theta_2 + m_2l_1\dot{\theta}_1^2 \sin(\theta_1 - \theta_2) \end{cases}$$

设  $l_1 = l_2 = m_1 = m_2 = 1$ , 做变量代换得到一阶方程组

$$\begin{cases} \dot{u}_1 = u_3, \\ \dot{u}_2 = u_4, \\ 2\dot{u}_3 + cu_4 = -g \sin u_1 - su_4^2 \\ cu_3 + \dot{u}_4 = -g \sin u_2 + su_3^2 \end{cases}$$

求解微分方程初值问题, 得到摆锤的运动规律  
Matlab演示swinger



习题7.23

# 刚性问题

- » ODE数值解法的稳定性  
刚性问题与刚性解法

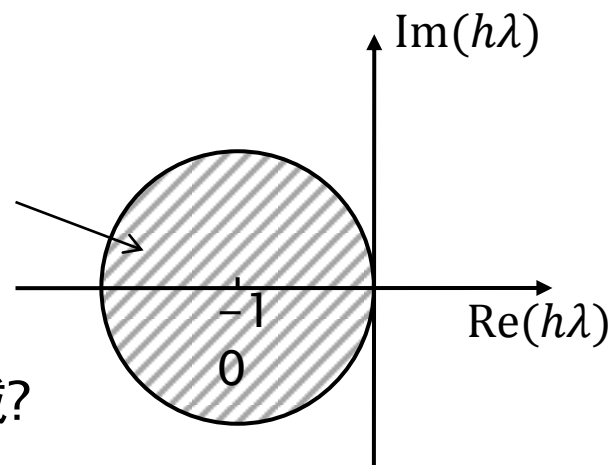
# 数值解法的稳定性

- 方法的**稳定性**: 解函数近似值 $y_n$ 存在误差, 在后续递推计算过程中, 它会如何传播?
- 定义**: 若在节点 $t_n$ 上的函数近似值有扰动 $\delta_n$ , 由它引起的后续节点上的误差 $\delta_m$  ( $m > n$ )满足 $|\delta_m| \leq |\delta_n|$ , 则该方法**稳定**
- 考虑**截断误差**. 以欧拉法为例, 针对模型问题 $\dot{y} = \lambda y$
- 计算公式为 $y_{n+1} = y_n + h\lambda y_n = (1 + h\lambda)y_n$
- $y_n$ 上的扰动 $\delta_n$ 引起 $y_{n+1}$ 的误差:  $\delta_{n+1} = (1 + h\lambda)\delta_n$
- 要保证欧拉法稳定

↔  $|1 + h\lambda| \leq 1$

若 $\lambda$ 为实数( $\lambda < 0$ ),  $h \leq \frac{-2}{\lambda}$  **稳定域**

若 $\lambda$ 为复数,  $h\lambda$ 在复平面内的取值范围



其他显式R-K方法的稳定域?

# 数值解法的稳定性

## 稳定的隐格式方法

- 向后欧拉法:  $y_{n+1} = y_n + h_n f(t_{n+1}, y_{n+1})$
- 梯形法:  $y_{n+1} = y_n + \frac{1}{2} h_n [f(t_n, y_n) + f(t_{n+1}, y_{n+1})]$
- 采用隐格式方法, 每步计算都要解(非线性)方程
- 向后欧拉法的稳定性 (考虑模型问题:  $\dot{y} = \lambda y$ )  $(\text{Re}(\lambda) \leq 0)$

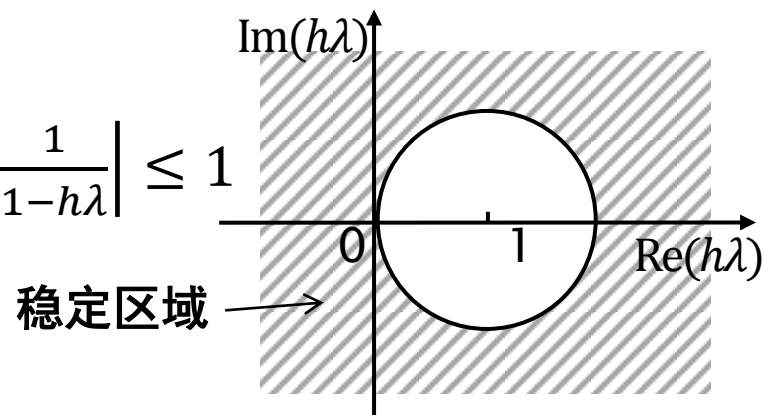
$$y_{n+1} = y_n + h\lambda y_{n+1} \Rightarrow y_{n+1} = \frac{1}{1-h\lambda} y_n$$

设  $y_n$  存在扰动  $\delta_n$ , 引起  $y_{n+1}$  的误差为

$$\delta_{n+1} = \frac{1}{1-h\lambda} \delta_n \longrightarrow \text{稳定的条件是: } \left| \frac{1}{1-h\lambda} \right| \leq 1$$

即  $|h\lambda - 1| \geq 1$  对任意的  $h$  都满足

无条件稳定(unconditionally stable)!



# 刚性 (stiff)

## ▶ 刚性

- 常微分方程数值解法中一个微妙而重要的概念
- 取决于微分方程和所采用的数值方法
- 一个问题被称为刚性的是指，其准确解随时间缓慢变化，但它附近存在变化很快的解，进而数值求解过程必须采用小步长来获得满意的结果。
- 刚性本身是一个效率的问题，若不关心计算时间可以不理睬

## ▶ Matlab中ODE求解程序的分类

- 非刚性求解器: ode23, ode45(4阶和5阶的R-K公式), ode113
- 刚性求解器: ode23s, ode15s, ode23t, ode23tb  
往往采用隐格式公式，稳定性好，步长大。例如梯形公式

$$\mathbf{y}_{n+1} = \mathbf{y}_n + \frac{h}{2} [f(t_n, \mathbf{y}_n) + f(t_{n+1}, \mathbf{y}_{n+1})]$$

# 例：火焰蔓延模型

“当点燃一根火柴时，火焰迅速增大直到一个临界体积，然后维持这一体积不变，此时火焰内部燃烧耗费的氧气和其表面现存的氧气达到了一种平衡。” 火球半径 $y(t)$ 满足：

$$\begin{cases} y' = y^2 - y^3 \\ y(0) = \delta \end{cases}$$

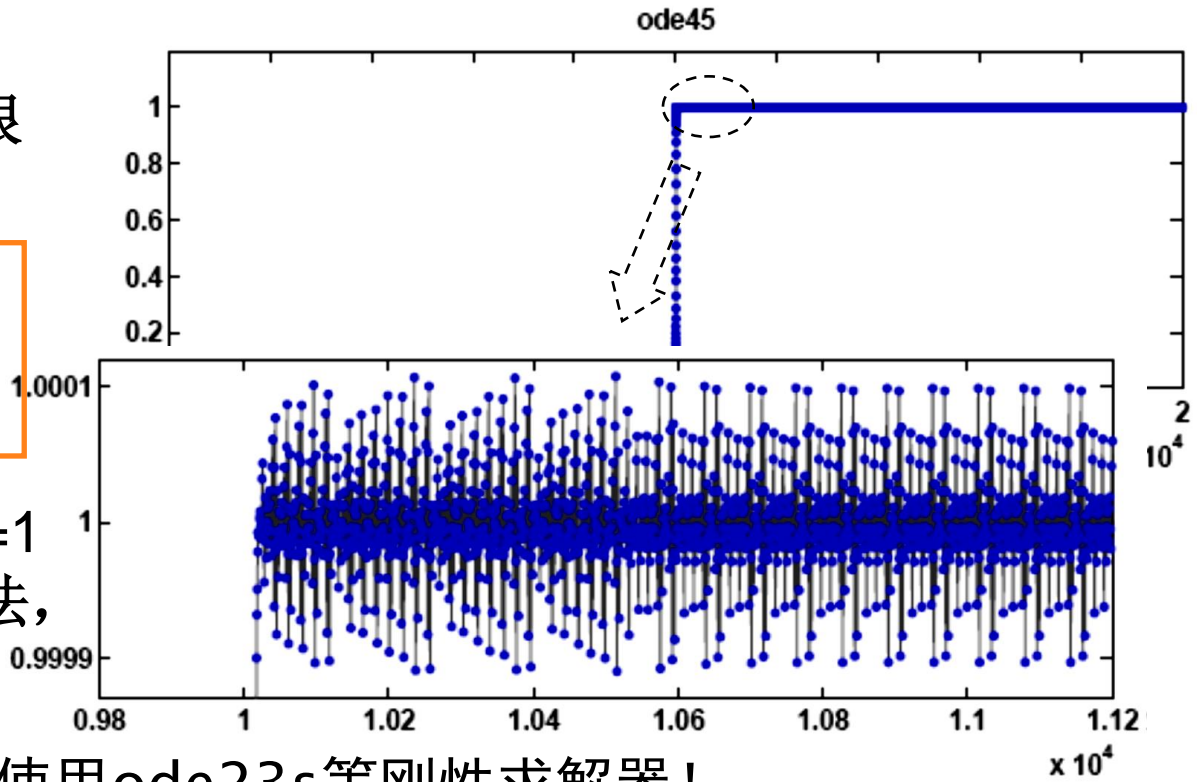
设初始半径 $\delta = 0.0001$ ，求解  $y(t)$ ,  $0 \leq t \leq 2/\delta$

→ 20000

用ode45求解，步长很小，效率很低

```
deta= 0.0001;  
f= @(t, y) y^2-y^3;  
ode45(f, [0, 2/deta], deta);
```

分析：非线性ODE在 $y(t)=1$ 处 $Eig(\mathbf{J}) = -1$ ，若用Euler法，步长上限为2



应使用ode23s等刚性求解器！

# 刚性常微分方程(组)

$$h < \frac{-2}{\lambda}$$

- ▶ **刚性常微分方程**: 局部线性化得:  $\dot{y} = Jy + b(t)$   
 $J$ 实部的绝对值很大, 或虚部绝对值很大(**震荡型**)
- ▶ 无论解函数曲线是否变化缓慢, 都需要使用较小步长保证计算的稳定性 (若用大步长, 数值解会很快偏离) 
- ▶ **刚性常微分方程组**: Jacobi矩阵特征值大小相差悬殊.  
解函数趋于稳定的时间由**最小**特征值决定, 而保持稳定的步长上限由**最大**特征值决定 (需用小步长求解 缓慢变化的曲线)
- ▶ 从峡谷中下山的比喻:  
**显式方法**——按局部斜率找最快下降方向, 结果每步都跨越峡谷  
**隐式方法**——盯着更远的目标, 仔细预测每步怎么走



# 事件(event)

- » Matlab求解器的事件功能  
实例演示

# 事件 (event)

## ▶ 如何确定ode求解的区间终点( $t_{\text{final}}$ )?

- 例1: 物体受重力(以及空气阻力)作用下落到地面的时间
- 例2: 二体问题中, 较轻的物体运动的周期(时间)

## ▶ Matlab的ode求解器的事件功能

- $[T, Y, TE, YE, IE] = \text{ode23}(\text{odefun}, \text{tspan}, y_0, \text{options})$

$\{t_n\}, \{y_n\}$      $t_*, y_*$      $\dot{y} = f(t, y)$      $y(t_0) = y_0$     设置触发事件的时间满足的方程

- 触发事件的方程  $g(t_*, y(t_*)) = 0$

- g函数的定义: 值为1,0; 事件触发后求解过程终止否? 值为0/1/-1; 1/-1表示g函数递增/递减过程

function [gstop, isterminal, direction] = g(t, y)

- 例1:  $g(t, y) = y_1$     ode方程:  $\ddot{y} = -1 + \dot{y}^2$      $\begin{bmatrix} \dot{y}_1 \\ \dot{y}_2 \end{bmatrix} = \begin{bmatrix} y_2 \\ -1 + y_2^2 \end{bmatrix}$

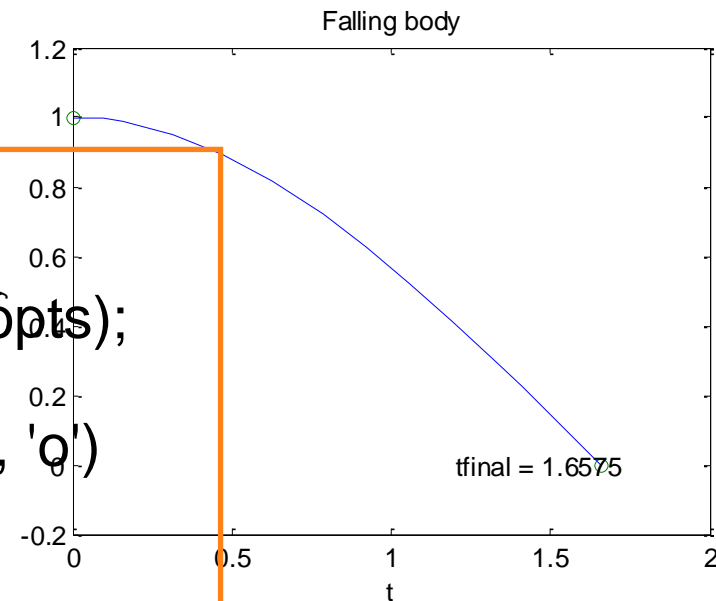
gstop = y(1); isterminal = 1; direction = 0;

# 事件 (event)

## ▶ 例1: 物体受重力(以及空气阻力)作用下落

- 微分方程  $\ddot{y} = -1 + \dot{y}^2$   $\begin{bmatrix} \dot{y}_1 \\ \dot{y}_2 \end{bmatrix} = \begin{bmatrix} y_2 \\ -1 + y_2^2 \end{bmatrix}$
- 初始条件:  $y(0) = 1, \dot{y}(0) = 0$
- 求t为何值时 $y(t)=0$  ?

```
>> opts = odeset('events', @g);  
>> y0 = [1; 0];  
>> [t,y,tfinal] = ode45(@f,[0 Inf], y0, opts);  
>> tfinal  
>> plot(t, y(:,1), '-', [0 tfinal], [y0(1) 0], 'o')  
>> xlabel('t'); ylabel('y')  
>> title('Falling body')  
>> text(1.2, 0, ['tfinal = ' num2str(tfinal)])
```



fall\_body.m

## ▶ 例2: 二体问题, 运动的周期 (环绕一周的时间)



# 事件 (event)

## ▶ 例2: 二体问题, 运动的周期

- 微分方程中未知函数

- 初始条件:

- $y(0) = [1, 0, 0, 0.3]^T$

- 怎么设置事件g(t, y)函数?

到初始点的距离 $d = y(1:2) - y_0(1:2)$ 为零向量?  $d$ 首次达到极小

- $d(\|d\|^2)/dt = 0$ , 即 $d^T \dot{d} = 0$  首次极小为g(t,y)从负变为0

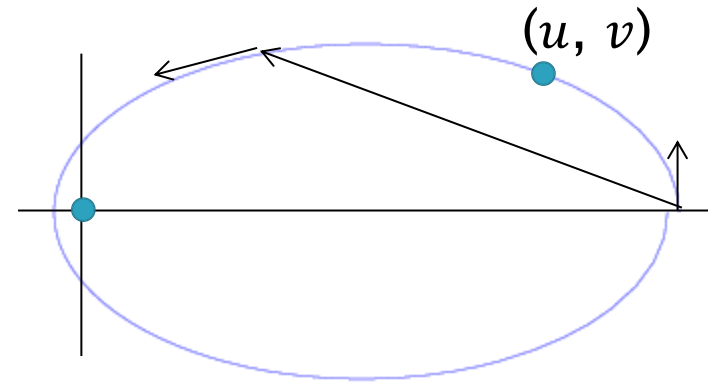
```
function [val, isterm, dir] = gstop(t, y, y0)
```

```
d = y(1:2) - y0(1:2);
```

```
v = y(3:4);
```

```
val = d' * v;
```

```
isterm = 1; dir = 1;
```



**注意:**

输入参数还有y0;

f(t,y)定义需保持一致,  
也增加第3个参数

设置高的ode求解精度, 轨道会重合, 见orbit.m